

L'Ansatz de Bethe dans la chaîne XXZ

Stage - L3 Physique

Tuteur: BELLETETE Jonathan

Étudiant : KATCHERA Mizaan-abbas

Laboratoire de Physique Théorique et Modélisation (LPTM)



Soutenance : 06 Juin 2023

Organisation du stage

- Un rendez-vous fixé une fois par semaine avec le tuteur
- Suivi de l'avancement de nos recherches
- Utilisation de ressources spécifiques ainsi que de logiciels de programmation
- Rédaction du rapport à mesure de l'avancement du stage

Présentation du sujet

- Objectif du stage : Explorer l'application de l'Ansatz de Bethe à la chaîne XXZ en physique quantique.
- Importance de l'Ansatz de Bethe : Méthode puissante pour résoudre les systèmes complexes de spins et d'interactions quantiques.
- Contexte historique : Formulé par Hans Bethe dans les années 1930, physicien pionnier de la physique quantique.
- Méthodologie : Utilisation de l'Ansatz de Bethe pour déterminer les états propres et les valeurs propres de la chaîne XXZ.
- Offrir un aperçu des méthodes théoriques pour étudier la chaîne XXZ en mettant l'accent sur l'Ansatz de Bethe.
- Résultats attendus : Compréhension approfondie du modèle physique et examen des états propres associés à la chaîne XXZ.

La chaîne de spin d'Heisenberg (XXZ)

Description du modèle

- Modèle étudié : Chaîne XXZ de Heisenberg, une chaîne cyclique avec L spins sur un réseau unidimensionnel.
- Spins : Propriétés internes des particules, mesurables de manière discrète et soumises au principe d'incertitude.
- Espace de Hilbert : Les spins vivent dans un espace d'Hilbert bidimensionnel \mathbb{C}^2 , formant un espace vectoriel complexe de dimension $2L$.
- Représentation mathématique : L'état de la chaîne est un élément des produits tensoriels des espaces de spins, noté \mathbb{C}^{2L} .
- Groupe cyclique : La chaîne est décrite par l'équation $H = OZ/LZC$, où Z/LZ est le groupe cyclique de longueur L .

La chaîne de spin d'Heisenberg (XXZ) - Description du modèle

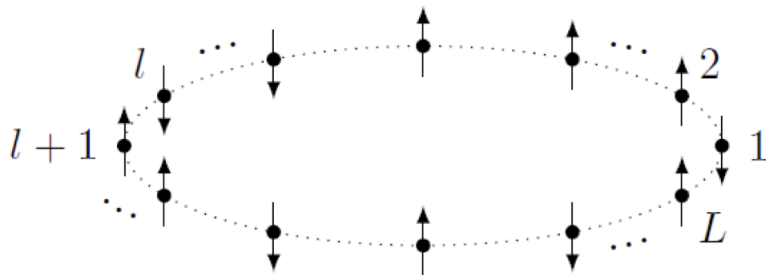


Figure – Schéma de la chaîne de spin de Heisenberg (XXZ) - The Coordinate Bethe Ansatz for the Heisenberg Spin Chain - Tobias Kästli

La chaîne de spin d'Heisenberg (XXZ) - Hamiltonien du système

$$S_l = \underbrace{\mathbb{I}_2 \otimes \mathbb{I}_2 \otimes \dots \otimes \mathbb{I}_2}_{l-1 \text{ fois}} S \otimes \underbrace{\mathbb{I}_2 \otimes \mathbb{I}_2 \otimes \dots \otimes \mathbb{I}_2}_{L-l-1 \text{ fois}}.$$

$$S_l^\pm = S_l^x \pm iS_l^y$$

$$S_l^+ = \begin{pmatrix} 0 & 1 \\ 0 & 0 \end{pmatrix}, \quad S_l^- = \begin{pmatrix} 0 & 0 \\ 1 & 0 \end{pmatrix}, \quad S_l^z = \begin{pmatrix} 1 & 0 \\ 0 & -1 \end{pmatrix},$$

$$[S_k^z, S_l^\pm] = \pm \delta_{k,l} S_l^\pm, \quad [S_k^+, S_l^-] = 2\delta_{k,l} S_l^z, \quad [S_k^\pm, S_l^\pm] = 0.$$

$$\boxed{H_{\text{XXZ}} = -J \sum_{l \in \mathbb{Z}/\mathbb{Z}_L} S_l^x S_{l+1}^x + S_l^y S_{l+1}^y + \Delta S_l^z S_{l+1}^z.} \quad (1)$$

La chaîne de spin d'Heisenberg (XXZ) - Hamiltonien du système

$$\sigma_x = \begin{pmatrix} 0 & 1 \\ 1 & 0 \end{pmatrix}, \quad \sigma_y = \begin{pmatrix} 0 & -i \\ i & 0 \end{pmatrix}, \quad \sigma_z = \begin{pmatrix} 1 & 0 \\ 0 & -1 \end{pmatrix}.$$

$$|\uparrow\rangle = \begin{pmatrix} 1 \\ 0 \end{pmatrix}, \quad |\downarrow\rangle = \begin{pmatrix} 0 \\ 1 \end{pmatrix}.$$

$$S^+|\uparrow\rangle = 0, \quad S^+|\downarrow\rangle = |\uparrow\rangle$$

$$S^-|\uparrow\rangle = |\downarrow\rangle, \quad S^-|\downarrow\rangle = 0$$

$$S^z|\uparrow\rangle = |\uparrow\rangle, \quad S^z|\downarrow\rangle = -|\downarrow\rangle.$$

$$S^+ = S^x + iS^y, \quad S^- = S^x - iS^y.$$

$$S^x = \frac{1}{2}(S^+ + S^-), \quad S^y = \frac{1}{2i}(S^+ - S^-).$$

La chaîne de spin d'Heisenberg (XXZ) - Hamiltonien du système

$$S^+ = \frac{1}{2}(\sigma_x + i\sigma_y) = \frac{1}{2} \begin{pmatrix} 0 & 1 \\ 1 & 0 \end{pmatrix} + \frac{i}{2} \begin{pmatrix} 0 & -1 \\ 1 & 0 \end{pmatrix} = \frac{1}{2} \begin{pmatrix} 0 & 2 \\ 0 & 0 \end{pmatrix} = \begin{pmatrix} 0 & 1 \\ 0 & 0 \end{pmatrix},$$

$$S^- = \frac{1}{2}(\sigma_x - i\sigma_y) = \frac{1}{2} \begin{pmatrix} 0 & 1 \\ 1 & 0 \end{pmatrix} - \frac{i}{2} \begin{pmatrix} 0 & -1 \\ 1 & 0 \end{pmatrix} = \frac{1}{2} \begin{pmatrix} 0 & 0 \\ 2 & 0 \end{pmatrix} = \begin{pmatrix} 0 & 0 \\ 1 & 0 \end{pmatrix}.$$

$$S_l^x S_{l+1}^x = \frac{1}{4}(S_l^+ S_{l+1}^+ + S_l^+ S_{l+1}^- + S_l^- S_{l+1}^+ + S_l^- S_{l+1}^-),$$

$$S_l^y S_{l+1}^y = -\frac{1}{4}(S_l^+ S_{l+1}^+ + S_l^+ S_{l+1}^- + S_l^- S_{l+1}^+ - S_l^- S_{l+1}^-).$$

$$S_l^x S_{l+1}^x + S_l^y S_{l+1}^y = \frac{1}{2}(S_l^+ S_{l+1}^- + S_l^- S_{l+1}^+)$$

L'Hamiltonien de la chaîne XXZ peut alors être exprimé de la manière suivante :

$$H_{XXZ} = -\frac{J}{2} \sum_l (S_l^+ S_{l+1}^- + S_l^- S_{l+1}^+) + 2\Delta S_l^z S_{l+1}^z. \quad (2)$$

Mise en oeuvre - Energie de l'état fondamental

Unique solution de l'énergie de l'état fondamental car $\binom{L}{0} = 1$. On considèrera $J = \hbar = 1$ durant toute l'étude.

$$|\Omega\rangle := |\uparrow \cdots \uparrow\rangle \quad . \quad (3)$$

$$H_{XXZ}|\Omega\rangle = -\frac{1}{2} \sum_{l \in \mathbb{Z}_L} (S_l^+ S_{l+1}^- + S_l^- S_{l+1}^+ + 2\Delta S_l^z S_{l+1}^z) |\Omega\rangle, \quad (4)$$

$$S_l^+ |\Omega\rangle = 0 \quad S_l^z |\Omega\rangle = \frac{\hbar}{2} |\Omega\rangle \quad , \text{ pour tout } l \in \mathbb{Z}_L, \quad (5)$$

$$H_{XXZ}|\Omega\rangle = - \sum_{l \in \mathbb{Z}_L} \Delta S_l^z S_{l+1}^z |\Omega\rangle = - \sum_{l \in \mathbb{Z}_L} \Delta \frac{1}{4} |\Omega\rangle. \quad (6)$$

$$\boxed{H_{XXZ}|\Omega\rangle = \frac{\Delta L}{4} |\Omega\rangle = E_0 |\Omega\rangle}. \quad (7)$$

Secteur une particule - 1 spin orienté vers le bas

$$\binom{L}{1} = \frac{L!}{1!(L-1)!} = L. \quad (8)$$

$$|l\rangle = |\uparrow_1 \uparrow_2 \cdots \uparrow_{l-1} \downarrow_l\rangle \quad (9)$$

$$|l\rangle \rightarrow |l+1\rangle \text{ par } U \quad (10)$$

$$U|\Psi_1; p\rangle = e^{-ip}|\Psi_1; p\rangle, \quad (11)$$

$$|\Psi_1; p\rangle = \sum_{l \in \mathbb{Z}_L} \psi_p(l) |l\rangle, \quad (12)$$

$$\psi_p(l+1) = \langle l+1 | \Psi_1; p \rangle = \langle l | U^\dagger | \Psi_1; p \rangle = e^{ip\langle l |} \Psi_1; p \rangle = e^{ip} \psi_p(l), \quad (13)$$

$$\boxed{|\Psi_1; p\rangle = \frac{1}{\sqrt{L}} \sum_{l \in \mathbb{Z}_L} e^{ipl} |l\rangle}, \quad (14)$$

$$U^L = e^{-ipL} = id(15) \Rightarrow p = \frac{2\pi}{L} n \text{ pour } n \in \mathbb{Z}_L. \quad (15)$$

Secteur d'une particule - 1 spin orienté vers le bas

$$H_{XXZ}|l'\rangle = -\frac{1}{2} \sum_{l \in \mathbb{Z}_L} S_l^+ S_{l+1}^- + S_l^- S_{l+1}^+ + 2\Delta S_l^z S_{l+1}^z |l'\rangle. \quad (16)$$

$$H_{XXZ}|l'\rangle = -\frac{1}{2}(|l' + 1\rangle + |l' - 1\rangle) + \frac{\Delta}{2}((L - 2) - 2)|l'\rangle, \quad (17)$$

$$H_{XXZ}|l'\rangle = -\frac{1}{2}(|l' + 1\rangle + |l' - 1\rangle) + \frac{\Delta}{2}(L - 4)|l'\rangle. \quad (18)$$

$$H_{XXZ}|\Psi_1; p\rangle = \frac{1}{\sqrt{L}} \sum_{l \in \mathbb{Z}_L} e^{ipl} H_{XXZ}|l\rangle, \quad (19)$$

$$H_{XXZ} = -\frac{1}{\sqrt{L}} \sum_{l \in \mathbb{Z}_L} e^{ipl} \left(\frac{1}{2}|l + 1\rangle + |l - 1\rangle + \frac{\Delta}{2(L - 4)}|l\rangle \right), \quad (20)$$

Secteur d'une particule - 1 spin orienté vers le bas

$$H_{XXZ} = -\frac{1}{2\sqrt{L}} \left(\sum_{l \in \mathbb{Z}_L} e^{ipl} |l+1\rangle + \sum_{l \in \mathbb{Z}_L} e^{ipl} |l-1\rangle + \frac{\Delta}{2(L-4)} \sum_{l \in \mathbb{Z}_L} e^{ipl} |l\rangle \right), \quad (21)$$

$$H_{XXZ} = -\frac{1}{2\sqrt{L}} \left(\sum_{l \in \mathbb{Z}_L} e^{ipl} |l+1\rangle + \sum_{l \in \mathbb{Z}_L} e^{ipl} |l-1\rangle + \frac{\Delta}{2(L-4)} \sum_{l \in \mathbb{Z}_L} e^{ipl} |l\rangle \right), \quad (22)$$

$$\boxed{H_{XXZ} |\Psi_1; p\rangle = -\cos(p) - \frac{\Delta(L-4)}{4} |\Psi_1; p\rangle} \quad (23)$$

$$\boxed{E_{1s} = E_1 - E_0 = -\cos(p) - \frac{\Delta(L-4)}{4} + \frac{\Delta L}{4} = \Delta - \cos(p)}. \quad (24)$$

Secteur deux particules - 2 spins orientés vers le bas

Pour le secteur à deux particules, on dispose de $\binom{L}{2} = \frac{L!}{2!(L-2)!} = \frac{L(L-1)}{2}$ solutions.

On conserve le fait que $J = \hbar = 1$ de la même manière que dans le cas secteur une particule.

$$|\Psi_{M;p_1 \dots p_M}\rangle = \sum_{1 \leq l_1 < \dots < l_M \leq L} \psi_{p_1 \dots p_M}(l_1 \dots l_M) |l_1 \dots l_M\rangle, \quad (25)$$

$$\langle l | H_{XXZ} | \Psi_{M;p_1 \dots p_M} \rangle = E_M(p) \psi_p(l), \quad (26)$$

$$\psi_{p_1, p_2}(l_1, l_2) = A(p_1, p_2) e^{i(p_1 l_1 + p_2 l_2)} + A'(p_1, p_2) e^{i(p_1 l_2 + p_2 l_1)}. \quad (27)$$

$$H_{XXZ} = -J \sum_{l \in \mathbb{Z}/\mathbb{Z}_L} S_l^x S_{l+1}^x + S_l^y S_{l+1}^y + \Delta S_l^z S_{l+1}^z. \quad (28)$$

Secteur deux particules - Cas des spins non adjacents

i.e $|l_1 - l_2| > 1$

$$\sum_{l=1}^L S_l^+ S_{l+1}^- |l_1, l_2\rangle = |l_1+1, l_2\rangle + |l_1, l_2+1\rangle = \sum_{l=1}^L S_l^- S_{l+1}^+ |l_1, l_2\rangle = |l_1-1, l_2\rangle + |l_1, l_2-1\rangle$$

$$\sum_{l=1}^L S_l^z S_{l+1}^z |l_1, l_2\rangle = \frac{L-8}{4} |l_1, l_2\rangle \quad (29)$$

$$2\epsilon_2(p)\psi_p(l_1, l_2) = 4\Delta\psi_p(l_1, l_2) - \psi_p(l_1-1, l_2) - \psi_p(l_1+1, l_2) - \psi_p(l_1, l_2-1) - \psi_p(l_1, l_2+1) \quad (30)$$

L'énergie totale de l'état considéré dans le cas des spins non adjacents ci-dessous :

$$E_{2sna} = E_2 - E_0 = 2\Delta - \cos(p_1) - \cos(p_2). \quad (31)$$

Secteur deux particules - Cas des spins adjacents : $l_2 = l_1 + 1$

$$\begin{aligned}\sum_k S_k^+ S_{k+1}^- |l_1, l_1 + 1\rangle &= |l_1, l_1 + 2\rangle, \\ \sum_k S_k^- S_{k+1}^+ |l_1, l_1 + 1\rangle &= |l_1 - 1, l_1 + 1\rangle, \\ \sum_k S_k^z S_{k+1}^z |l_1, l_1 + 1\rangle &= \frac{L-4}{4} |l_1, l_1 + 1\rangle.\end{aligned}\tag{32}$$

$$2\epsilon_2(p)\psi_p(l_1, l_1+1) = 2\Delta\psi_p(l_1, l_1+1) - \psi_p(l_1-1, l_1+1) - \psi_p(l_1, l_1+2),\tag{33}$$

$$2\epsilon_2(p)\psi_p(l_1, l_1 + 1) = \psi_p(l_1, l_1) + \psi_p(l_1 + 1, l_1 + 1),\tag{34}$$

$$\boxed{S(p_1, p_2) = \frac{A'}{A} = -\frac{1-2\Delta e^{ip_2} + e^{i(p_1+p_2)}}{1-2\Delta e^{ip_1} + e^{i(p_1+p_2)}}}.\tag{35}$$

Secteur deux particules - Cas des spins adjacents : $l_2 = l_1 + 1$

$$\psi_p(l_1, l_2) = \psi_p(l_2, l_1 + L), \quad (36)$$

$$A(p_1; p_2)e^{i(p_1 l_1 + p_2 l_2)} + B(p_1; p_2)e^{i(p_1 l_2 + p_2 l_1)} = A(p_1; p_2)e^{i(p_1 l_2 + p_2(l_1 + L))} + B(p_1; p_2)e^{i(p_1(l_1 + L) + p_2 l_2)} \quad (37)$$

$$e^{ip_1 L} = \frac{A'(p_1; p_2)}{A(p_1; p_2)}, \quad e^{ip_2 L} = \frac{A(p_1; p_2)}{A'(p_1; p_2)}, \quad (38)$$

$$\boxed{e^{ip_1 L} = -\frac{1 + e^{\frac{i2n\pi}{L}} - 2\Delta e^{\frac{2n\pi}{L}} e^{-ip_1}}{1 + e^{\frac{i2n\pi}{L}} - 2\Delta e^{ip_1}}}. \quad (39)$$

$$e^{ip_1 L} e^{ip_2 L} = 1 \quad \text{donc} \quad , p_2 = \frac{2n\pi}{L} - p_1 \quad \text{avec} \quad n \in \mathbb{Z} \quad (40)$$

Étude du cas particulier : $\Delta = 1/2$

Dans ce cas particulier, on conserve le fait que $J = \hbar = 1$ et on impose que $L = 4$ et $n = 1$, $\Delta = 1/2$ et on a $\binom{L}{M} = \binom{4}{2} = 6$ solutions.

$$e^{ip_1 L} = -\frac{1+i-ie^{-ip_1}}{1+i-ie^{ip_1}}, \quad \text{donc} \quad 1+i+e^{ip_1 L}-ie^{ip_1(L+1)}+ie^{ip_1 L}-ie^{-ip_1 L} = 0. \quad (41)$$

$$1 + \cos(4p_1) - \sin(p_1) - \cos(5p_1) - \sin(4p_1) = 0 \quad (42)$$

$$1 + \cos(4p_1) - \cos(p_1) + \sin(4p_1) - \sin(5p_1) = 0 \quad (43)$$

$$E_{2sna} = E_2 - E_0 = 2\Delta - \cos(p_1) - \cos(p_2). \quad (44)$$

Étude du cas particulier : $\Delta = 1/2$ - Résultats

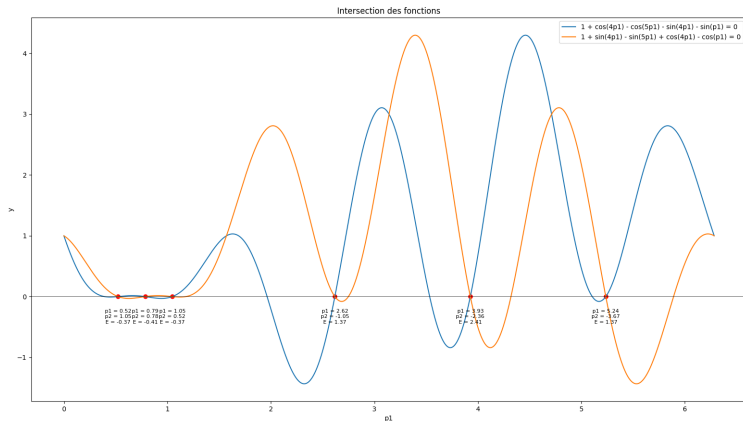


Figure – Tracé des deux courbes en python - Spyder

Étude du cas particulier : $\Delta = 1/2$ - Résultats

Ainsi que les différentes valeurs de p_1 et p_2 aux intersections et les énergies qui leurs sont associées qui correspondent à nos solutions (cf console ci-dessous) :

```
Points d'intersection (p1) : [0.5235843212555905, 0.7861843477451934, 1.0471389845619563, 2.6179871205986958, 3.926972377238078, 5.235917762451822]  
Valeurs de p2 : [ 1.04721201  0.78461198  0.52365734 -1.04719079 -2.35617605 -3.66512144]  
Énergies associées : [-0.3660201129851123, -0.41421312532043697, -0.3660468383177512, 1.3660161730058558, 2.4142135621326615, 1.366121015829438]
```

Figure – Résultats - Console Python

Remarque : Notre étude est restreinte dans le cas où $J = \hbar = 1$ et on impose que $L = 4$ et $n = 1$, $\Delta = 1/2$, on aurait pu modifier L ou Δ pour une étude plus approfondie.

Cas généralisée

$$\binom{L}{M} \text{ solutions}$$

$$|\psi(p_1, \dots, p_M)\rangle = \sum_l \psi(p_1, \dots, p_M; l_1, \dots, l_M) |l_1, \dots, l_M\rangle,$$

$$\psi(p_1, \dots, p_M; l_1, \dots, l_M) = \sum_j A_j(p_1, \dots, p_M) e^{ip_j l},$$

$$H_{XXZ} |\psi(p_1, \dots, p_M)\rangle = -\frac{J}{2} \sum_l (S_l^+ S_{l+1}^- + S_l^- S_{l+1}^+ + 2\Delta S_l^z S_{l+1}^z) \sum_{l_1 < \dots < l_M} \psi(p_1,$$

$$E_{gen} = J \left(M \Delta \frac{\hbar}{2} - \sum_{i=1}^M \cos(p_i) \right).$$

Conclusion

- Approfondissement de la compréhension de la chaîne XXZ et des méthodes théoriques utilisées.
- Application prometteuse de l'Ansatz de Bethe pour résoudre des systèmes complexes.
- Acquisition de compétences en physique théorique et utilisation de Python pour l'étude des systèmes quantiques.
- Interaction avec des chercheurs passionnés et immersion dans la recherche en physique théorique.
- Appréciation de la rigueur et de la collaboration dans la communauté scientifique.
- Vision positive de la recherche en physique quantique et acquisition d'outils précieux pour le parcours futur.

- *Lecture 1. Heisenberg spin chain and Bethe ansatz, 2023* - Yunfeng Jiang
- *The Coordinate Bethe Ansatz for the Heisenberg Spin Chain, May 16, 2018* - Tobias Kästli
- *A pedagogical introduction to quantum integrability with a view towards theoretical high-energy physics, June 2015* - Jules Lamers
- *Lectures on the Bethe Ansatz, University College London, June 2016* - Fedor Levkovich-Maslyuk
- *Algebraic Bethe ansatz, Jan 2019* - N.A. Slavnov
- *Notes on Bethe Ansatz Techniques, 2011* - Fabio Franchini
- *Introduction to the Bethe Ansatz I, American Institute of Physics, 2010* - Michael Karabach, Gerhard Müller, Harvey Gould